

ОБЪЕДИНЕННЫЙ
ИНСТИТУТ
ЯДЕРНЫХ
ИССЛЕДОВАНИЙ
ДУБНА



12/1-74

A-564

Р1 - 7742

1802/2-74

М.Альбу, Т.Бешлиу, Р.Гарфаньини, М.М.Кулюкин,
В.И.Ляшенко, А.Михул, Ф.Никитиу, Г.Пираджино
Д.Б.Понтекорво, И.В.Фаломкин, Ю.А.Щербаков

УПРУГОЕ РАССЕЯНИЕ Π^+ -МЕЗОНОВ НА ${}^3\text{He}$
ПРИ ЭНЕРГИИ 154 МЭВ

1974

ЛАБОРАТОРИЯ ЯДЕРНЫХ ПРОБЛЕМ

М.Альбу,¹ Т.Бешлиу,¹ Р.Гарфанини,² М.М.Кулюкин,
В.И.Ляшенко, А.Михул,¹ Ф.Никитиу,¹ Г.Пираджино²
Д.Б.Понтекорво, И.В.Фаломкин, Ю.А.Щербаков

УПРУГОЕ РАССЕЯНИЕ Π^+ -МЕЗОНОВ НА ${}^3\text{He}$
ПРИ ЭНЕРГИИ 154 МЭВ

Направлено в *Nuovo Cimento*



¹ Институт атомной физики, Бухарест.

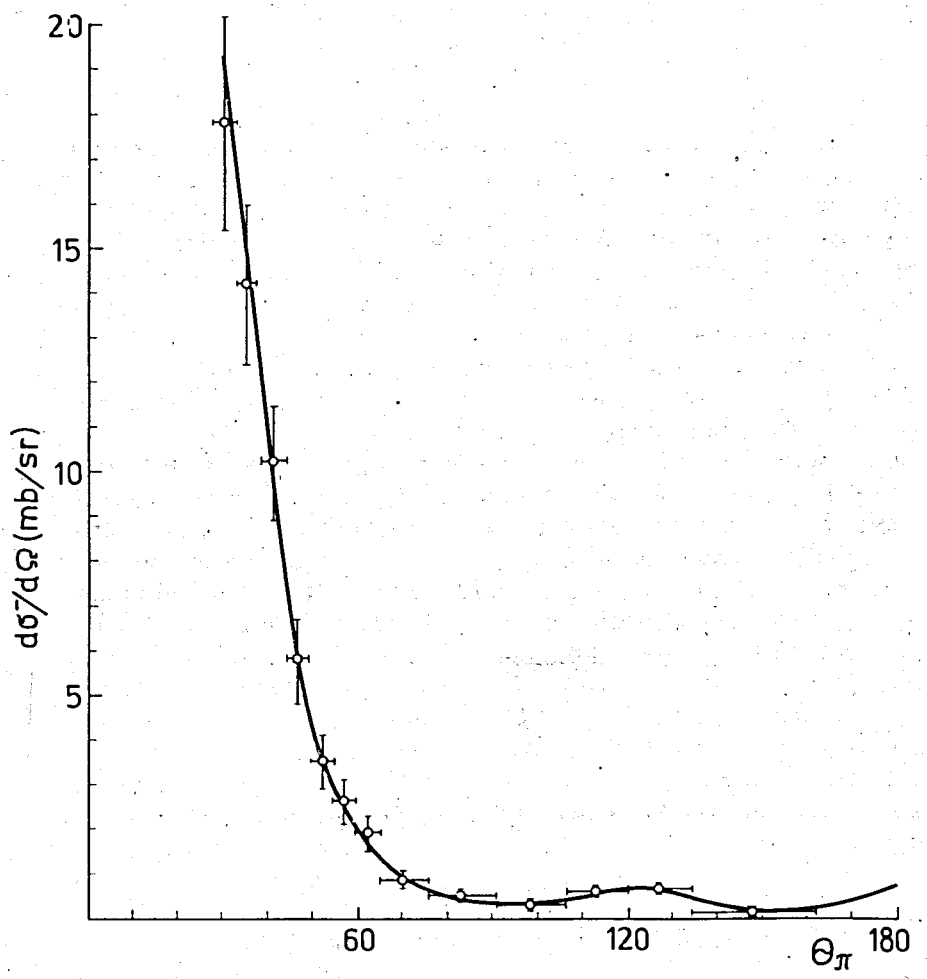
² Институт физики Турийского университета, Турин.

Дифференциальные сечения упругого рассеяния пионов на ядрах гелия-3 впервые были измерены в работе /1/. Интерес к исследованиям этого процесса связан, в частности, с предположением о возможности безмодельного извлечения константы взаимодействия ($\pi^3\text{H} - ^3\text{He}$) из данных по упругому рассеянию $\pi^3\text{He}$ /2/. Величина этой константы может быть связана соотношением Гольдберга-Треймана с константой взаимодействия (πNN) /3/. На пути извлечения этой константы имеются определенные трудности, связанные с необходимостью экстраполяции дифференциальных сечений упругого рассеяния в нефизическую область. При этом оказывается, что с повышением энергии полюс приближается к физической области, что должно улучшить надежность экстраполяции. Однако необходимо хотя бы предварительное знание поведения дифференциальных сечений при больших углах рассеяния /не падают ли они слишком сильно, затрудняя процесс экстраполяции/. В связи с вышесказанным мы выполнили предварительный эксперимент главным образом для оценки формы углового распределения. Безусловно, новые данные о рассеянии $\pi^3\text{He}$ представляют интерес и в связи с другими проблемами взаимодействия пионов с малонуклонными системами.

Постановка опыта и результаты

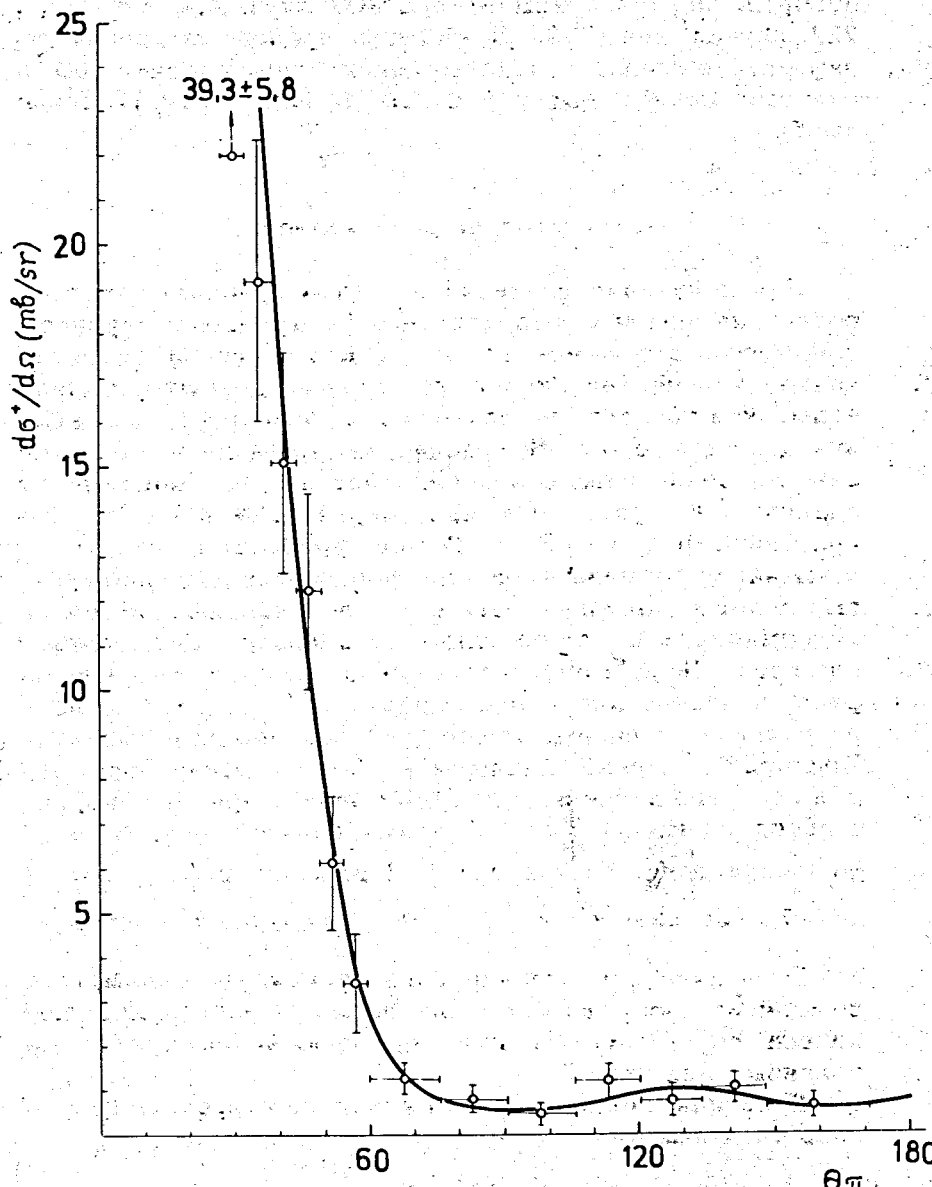
Эксперимент был выполнен с помощью стримерной камеры высокого давления /4/. Постановка опыта и методика обработки данных описаны в работах /1,5,6/. В процессе экспозиции было получено 30 тыс. фотографий на пучке π^+ -мезонов и 60 тыс. фотографий на пучке π^- -ме-

зонов. Доля пионов в пучке составляла $84 \pm 3\%$. Измеренные дифференциальные сечения показаны на рис. 1 а, б. При этом в качестве событий упругого рассеяния было



a/

Рис. 1. Дифференциальные сечения упругого рассеяния пионов на ядрах ${}^3\text{He}$ при энергии пионов 154 МэВ в случае а/ π^- -мезонов, б/ π^+ -мезонов. Сплошная кривая - аппроксимация с помощью ряда из полиномов Лежандра /взято 7 членов ряда/.



б/

отобрано по критериям отбора 407 случаев для π^- ³He и 222 случая для π^+ ³He. В таблице приведены данные по дифференциальным сечениям в диапазоне углов 30°-160° в системе центра масс; указаны только статистические ошибки.

Обсуждение результатов

Для получения сведений о полных сечениях упругого рассеяния угловые распределения были аппроксимированы с помощью полиномов Лежандра. К сожалению, недостаточное количество экспериментальных данных и их пока невысокая точность не позволяют провести фазовый анализ для упругого π^- -рассеяния. Наличие у ядра ${}^3\text{He}$ спина и необходимость использования /как показывает анализ π^+ -рассеяния при энергии 154 МэВ^[6]/ по крайней мере S-, P- и D-волн приводит к значительному числу возможных фаз, достоверное нахождение которых будет возможно только после получения более точной информации, которая бы включала и измерение поляризации ядра ${}^3\text{He}$. Для определения необходимого числа членов ряда анализировалась зависимость χ^2/n_{DF} , где n_{DF} - число степеней свободы, от числа используемых полиномов. Критерий - первый минимум в χ^2/n_{DF} . Оказалось, что для описания экспериментальных данных при этой энергии в обоих случаях / π^+ и π^- / оптимальная величина N /число членов ряда/ составляет 7. При этом $\chi^2/n_{DF} = 1,15$ для π^+ -мезонов и $\chi^2/n_{DF} = 0,35$ в случае π^- -мезонов.

За полное сечение упругого рассеяния принималась величина, получавшаяся после интегрирования найденной кривой $/\sigma_{el} = 4\pi A_0/k^2$, где A_0 - коэффициент при первом полиноме Лежандра/.

Величины полных сечений упругого рассеяния оказались следующими:

$$\sigma_{el}^+ = 78,8 \pm 7,1 \text{ мбарн}, \quad \sigma_{el}^- = 47,2 \pm 3,7 \text{ мбарн}.$$

Таблица
Дифференциальные сечения упругого рассеяния π^+ и π^- -
мезонов на ядрах ${}^3\text{He}$ при энергии 154 МэВ

с.ц.м. θ_π	$\frac{d\sigma^+}{d\Omega}$, мбарн/ср	$\frac{d\sigma^-}{d\Omega}$, мбарн/ср
30,I	$39,30 \pm 5,78$	$17,87 \pm 2,39$
35,6	$19,20 \pm 3,22$	$14,20 \pm 1,78$
41,0	$15,10 \pm 2,53$	$10,21 \pm 1,32$
46,4	$12,26 \pm 2,18$	$5,79 \pm 0,90$
51,7	$6,08 \pm 1,53$	$3,48 \pm 0,63$
57,0	$3,35 \pm 1,14$	$2,63 \pm 0,52$
62,3		$1,91 \pm 0,43$
67,5	$1.26 \pm 0,41$	
70,I		$0.86 \pm 0,20$
83,0	$0,78 \pm 0,32$	$0,51 \pm 0,13$
98,0	$0,45 \pm 0,24$	$0,32 \pm 0,10$
112,7	$1,23 \pm 0,39$	$0,61 \pm 0,13$
127,I	$0,75 \pm 0,31$	$0,66 \pm 0,15$
141,2	$1,01 \pm 0,36$	
148,I		$0,11 \pm 0,04$
159,6	$0,58 \pm 0,24$	

Надо иметь в виду, что при такой аппроксимации кулоновское рассеяние /включая его интерференцию с ядерным/ не учитывается корректным образом и полученные интегральные сечения могут заметно отличаться от сечений чисто ядерного упругого рассеяния пионов на ядре ${}^3\text{He}$.

Всюду приводятся только статистические ошибки. Учитывая возможность систематических ошибок при вычислении числа пионов, прошедших через камеру, при вычислении геометрических эффективностей и т.п. можно ожидать, что возможная систематическая ошибка в сечении не превышает 10%.

В обоих случаях величина полных сечений упругого рассеяния оказывается меньшей, чем соответствующие значения, полученные для упругого рассеяния пионов на ${}^4\text{He}$ / $\sigma_{el}^+ = 123 \pm 7$ мбарн и $\sigma_{el}^- = 124 \pm 6$ мбарн/ [6]. В то же время повышение энергии пионов до 154 МэВ сопровождается ростом сечений упругого рассеяния пионов на гелий-3 примерно в 1,5 ÷ 1,8 раза /при 97 МэВ $\sigma_{el}^+ = 43,6 \pm 1,8$ мбарн, $\sigma_{el}^- = 31,0 \pm 1,3$ мбарн/ [1]. В угловых распределениях видны два минимума. Первый располагается при 80° - 110° , второй - при 140° - 170° , т.е. приблизительно так, как это имеет место в π^- -рассеянии при этой же энергии [6]. Для более четкого выявления поведения сечений при больших углах рассеяния необходимо улучшать статистику на π^+ -мезонах. Так же, как и при 100 МэВ [1], дифференциальное сечение рассеяния в диапазоне углов рассеяния $> 140^\circ$ оказывается для π^+ -мезонов выше, чем для π^- -мезонов. Нужно отметить, что при энергии 154 МэВ дифференциальные сечения рассеяния на большие углы значительно уменьшились /в несколько раз/ по сравнению с данными, полученными при 100 МэВ, что, в свою очередь, затрудняет проблему экстраполяции сечений в нефизическую область.

Авторы благодарны В.П.Джелепову и Л.И.Лапидусу за поддержку данной работы.

Литература

1. I.V.Falomkin, G.Georgescu, M.M.Kulyukin, V.I.Lyashenko, A.Mihul, F.Nichitiu, G.Pontecorvo, Yu.A.Shcherbakov. Lett.Nuovo Cim., 5, 1121 (1972).
2. O.V.Dumbrajs, F.Nichitiu, Yu.A.Shcherbakov. Preprint JINR E2-6962, Dubna, 1973.
3. Б.З.Копелиович. Препринт ОИЯИ, Р2-7086, Дубна, 1973.
4. I.V.Falomkin, V.M.Korolyov, M.M.Kulyukin, V.I.Lyashenko, G.Pontecorvo, Yu.A.Shcherbakov. Lett.Nuov.Cim., 5, 757 (1972).
5. I.V.Falomkin, M.M.Kulyukin, V.I.Lyashenko, F.Gh.Nichitiu, G.B.Pontecorvo, Yu.A.Shcherbakov. Lett.Nouv.Cim., 3, 461 (1972).
6. М.М.Кулюкин, В.И.Ляшенко, Д.П.Понтекорво, И.В.Фаломкин, Ю.А.Щербаков, М.Альбу, Т.Бешлиу, А.Михул, Ф.Никитиу, Р.Гарфаньини, Д.Пирараджино. Препринт ОИЯИ, Р1-7628, Дубна, 1974.

Рукопись поступила в издательский отдел
21 февраля 1974 года.